

## Expression of nestin and nerve growth factors in adipose-derived mesenchymal stem cells

Ghorbanian MT\*, Haji-Ghasem-Kashani M, Hossein-Pour L, Mirzaiyan L

Faculty of Biology, Damghan University, Damghan, I. R. Iran.

Received May 22, 2011; Accepted July 31, 2011

### Abstract:

**Background:** Adipose tissue represents an accessible source of mesenchymal stem cells (Adipose tissue derived mesenchymal stem cells-ADSCs). ADSCs could be differentiated into various mesenchymal stem cells (e.g. chondrocytes, adipocytes, osteoblasts, and neuronal lineages). Neurotrophic factors are diffusible polypeptides that have a critical role in survival, proliferation and differentiation of stem cells. This study aimed to evaluate the proliferative capacity and the expression of some neurotrophic factors such as brain-derived neurotrophic factor (BDNF), ciliary neurotrophic factor (CNTF), glial cell-derived neurotrophic factor (GDNF), neurotrophin-3 (NT-3), neurotrophin-4 (NT-4), nerve growth factor (NGF) and the expression of nestin in ADSCs.

**Materials and Methods:** Rat ADSCs were isolated from the subcutaneous adipose tissue using mechanical and enzymatic digestion. These cells were cultured in αMEM supplemented with 10% fetal bovine serum. ADSCs of the third passage were evaluated by immunocytochemistry to detect the cell surface markers of CD90 and nestin. Reverse transcription-polymerase chain reaction (RT-PCR) was used to study the expression of the above-mentioned neurotrophic factors in the ADSCs. Moreover, adipogenic and chondrogenic differentiation of ADSCs were induced in-vitro.

**Results:** The assessment of ADSCs identity and purity showed that 90% and 80% of the stem cells were positive for CD90 marker and nestin, respectively. According to RT-PCR results, the above-mentioned neurotrophic factors were expressed in these stem cells. Furthermore, a small number of cells were positive for cresyl violet staining.

**Conclusion:** Adipose tissue contains a stem cell population that seems to be a good multipotential cell candidate for cell replacement therapy.

**Keywords:** Mesenchymal stem cell, Neurotrophic factors, Nestin

\* Corresponding Author.

Email: ghorbanian@du.ac.ir

Tel: 0098 912 531 8732

Fax: 0098 232 524 7146

Conflict of Interests: No

Feyz, Journal of Kashan University of Medical Sciences, Winter, 2012; Vol. 15, No 4, Pages 322-330

Please cite this article as: Ghorbanian MT, Haji-Ghasem-Kashani M, Hossein-Pour L, Mirzaiyan L. Expression of nestin and nerve growth factors in adipose-derived mesenchymal stem cells. *Feyz* 2012; 15(4): 322-30.

# بررسی بیان نستین و فاکتورهای رشد عصبی در کشت سلول‌های بنیادی مزانشیمی مشتق از بافت چربی

محمد تقی قربانیان<sup>۱\*</sup>، مریم حاجی قاسم کاشانی<sup>۲</sup>، لیلی حسین‌پور<sup>۳</sup>، لیلا میرزائیان<sup>۳</sup>

خلاصه:

سابقه و هدف: بافت چربی منبع قابل دسترسی برای سلول‌های بنیادی (Adipose tissue-derived mesenchymal stem cells; ADSCs) است. فاکتورهای نوروتروفیک، مولکول‌هایی هستند که در بقا، تکثیر و تمایز سلول‌های بنیادی نقش حیاتی دارند. هدف از این مطالعه بررسی ظرفیت تکثیری و قابلیت بیان فاکتورهای نوروتروفیک (NGF, CNTF, NT3, NT4, GDNF و BDNF) و همچنین بیان فیلامان بینایی سلول‌های پیش‌ساز عصبی (نستین) در ADSC ها می‌باشد.

مواد و روش‌ها: ADSC ها از بافت چربی زیرجلدی موش صحرایی بزرگ‌سال بروش هضم مکانیکی و آنزیمی جدا شد. این سلول‌ها در محیط αMEM غنی شده با سرم ۱۰ درصد FBS کشت شدند. سلول‌های پاساز سوم بروش ایمنوستیوژنی برای نشان‌گرها CD90 و نستین مورد ارزیابی قرار گرفتند. بیان فاکتورهای نوروتروفیک ذکر شده در ADSC ها به روش RT-PCR صورت گرفت. همچنین، این سلول‌ها در محیط الایمی به سلول‌های چربی و استخوان تمایز داده شدند.

نتایج: ارزیابی تعیین هویت و خلوص ADSC ها نشان داد که ۹۰ درصد سلول‌ها برای نشان‌گر CD90 و ۸۰ درصد آنها برای نشان‌گر نستین مثبت بوده‌اند. نتایج RT-PCR نیز نشان داد که فاکتورهای نوروتروفیک اشاره شده، در این سلول‌ها بیان شده‌اند. علاوه بر این، تعداد کمی از سلول‌ها به کربزیل ویوله واکنش دادند.

نتیجه‌گیری: بافت چربی دارای جمعیت سلولی بنیادی است که به دلیل قابلیت تکثیر و توان تمایزی می‌تواند کاندید مناسبی برای پیوند سلولی در آینده باشد.

**واژگان کلیدی:** سلول بنیادی مزانشیمی، فاکتورهای نوروتروفیک، نستین

فصلنامه علمی-پژوهشی فیض، دوره پانزدهم، شماره ۴، زمستان ۱۳۹۰، صفحات ۳۳۰-۳۲۲

ADSCs را می‌توان به روش لیپوساکشن از بافت چربی برداشته و با سانتریفیوژ و هضم آنزیمی توسط کلائزاز، جدا و کشت نمود [۷-۹]. پژوهش‌هایی در زمینه تمایز MSC ها در شرایط کشت با استفاده از مواد شیمیایی، ترانسفکشن یا هم‌کشتی صورت گرفته [۹،۱۰] و بیان نشان‌گر نستین، فیلامان بینایی سلول‌های نوروپاپتیال، در مرحله ابتدایی تمایز این سلول‌ها گزارش شده است [۱۱-۱۲]. برخی از مطالعات نشان داده‌اند که پیوند MSCs در ضایعات عصبی، با ترشح فاکتورهای نوروتروفیک، بقا و بازسازی نورون‌های میزانگر نستین، در افزایش می‌دهد [۱۲،۱۳]. پاسخ‌های نوروتروفیک تولید شده توسط NSC های درونزاد نمی‌توانند فقدان نورونی موجود در بیماری‌های CNS را به طور کامل جبران کنند. بنابراین استفاده از فاکتورهای خارجی جهت تحریک نورون‌زاپی لازم است. یکی از سلول‌هایی که برای تحریک نوروژن مناسب است، MSCs بوده که با بیان فاکتورهای رشد و سیتوکین‌ها نوروژن را فعال می‌کند [۱۴،۱۵،۱۶]. هدف از این پژوهش، استخراج و کشت سلول‌های ADSC موش صحرایی از بافت چربی زیرجلدی و بررسی قابلیت تکثیر، تمایز و بیان فاکتورهای نوروتروفیک و نوروپیلامان نستین در محیط برون‌تنی است.

## مقدمه

سلول‌های بنیادی مزانشیمی (Mesenchymal stem cells; MSCs) به دلیل قابلیت تولید فاکتورهای نوروتروفیک و تمایز به سلول‌های عصبی، کاندید مناسبی برای درمان بیماری‌ها و ضایعات عصبی هستند. از بافت چربی به سهولت می‌توان سلول بنیادی مزانشیمی را استخراج نموده و مورد کشت قرار داد [۱-۳]. سلول‌های بنیادی مشتق از بافت چربی (ADSCs) علاوه بر قابلیت تکثیر زیاد، می‌توانند به رده‌های سلول مزانشیمی مثل استئوبلاست، آپیوسیت و کندرؤسیت تمایز یابند [۲،۱]. همچنین، این سلول‌ها در شرایط درون و برون‌تنی به انواع سلول‌های عصبی و گلیالی تمایز می‌یابند.

<sup>۱</sup> استادیار، دانشکده زیست‌شناسی، دانشگاه دامغان

<sup>۲</sup> کارشناس ارشد زیست‌شناسی تکوینی، دانشکده زیست‌شناسی، دانشگاه دامغان

<sup>۳</sup> دانشجوی کارشناسی ارشد، دانشکده زیست‌شناسی، دانشگاه دامغان

\*لشانی نویسنده مسؤول؛

ایران، دامغان، دانشگاه دامغان، کد پستی ۱۵۶۵-۱۴۱۵۵

تلفن: ۰۲۳۲ ۵۲۴۷۱۴۶، دوره‌پیش: ۰۹۱۲ ۵۳۱۸۷۳۲

پست‌کترونیک: ghorbanian@du.ac.ir

تاریخ پذیرش نهایی: ۹۰/۵/۹، تاریخ دریافت: ۹۰/۳/۱

## مواد و روش‌ها

## استخراج و کشت سلول‌ها

بهمنظور رعایت اصول اخلاقی کار بر روی حیوانات، مطالعه حاضر بر اساس دستور کار کمیته اخلاقی دانشکده زیست شناسی دانشگاه دامغان انجام شد. در این مطالعه تجربی، از موش صحرایی بالغ نژاد ویستان استفاده گردید. حیوانات توسط کلروفرم کاملاً بیهوش شده و با رعایت شرایط استریل، قطعه‌ای از بافت چربی زیر جلدی (حدود یک گرم)، جدا گردیده و جهت استخراج مورد استفاده قرار گرفت. سلول‌های بنیادی مزانشیمی مشتق از بافت چربی پس از هضم مکانیکی و هضم آنزیمی توسط کلائزاز Krebs-Ringer Bicarbonate ( محلول  $\alpha$ -MEM (Gibco) در محیط Buffer (Gibco) غنی شده با ده درصد FBS (Gibco) و پنی‌سیلین-استرپوامایسین (Gibco) یک درصد در فلاسک  $25\text{cm}^2$  (Falcon) کشت داده شده و در شرایط، با دمای  $37^\circ\text{C}$  درجه سانتی گراد، و  $5\text{CO}_2$  درصد قرار داده شد. پس از  $48$  ساعت با تعویض محیط، سلول‌های شناور از سلول‌های چسبیده به کف فلاسک جدا گردیدند. پس از رسیدن سلول‌ها به تراکم  $70 \times 10^5$  درصد به کمک تریپسین  $0.25\text{mg}/\text{ml}$  درصد به همراه EDTA  $0.02\text{mg}/\text{ml}$  درصد (Merck) سلول‌ها از کف فلاسک جدا شده و با تراکم  $5 \times 10^5$  سلول در هر فلاسک subculture تهیه شد. در این تحقیق از سلول‌های پاساژ سوم استفاده گردید. برای ارزیابی حیات سلولی و تعیین سرعت تکثیر (زمان دو برابر شدن) سلول‌های MSCs استخراج شده از بافت چربی و کشت شده در شرایط فوق الذکر، در  $24$ ،  $48$  و  $72$  ساعت پس از کشت در پاساژهای  $2$  تا  $5$  به روش هموسایوتومتری (Hemocytometer) شمارش شدند. همچنین، با استفاده از روش نشان‌دار کردن سلول‌ها توسط Brdu و انجام ایمنوسیتوشیمی با آنتی‌بادی آنتی Brdu کونژوگه با HRP سلول‌ها رنگ شده و شمارش سلولی صورت گرفت.

## بررسی توان تمايزی ADSCs

تمایز استئوژنیک: سلول‌های پاساژ دوم در پلیت شش خانه حاوی محیط الفاکننده، تمايز به استخوان (Osteocyte Differentiation Medium, Stem cell technology, BON (1008) کشت شدند. پس از گذشت  $21$  روز، تمايز سلول‌ها با Alizarin Red S, Sigma (روش رنگ آمیزی آیزارین رد (A5533-23G)، بررسی شد. ابتدا سلول‌ها با PBS شسته شده و مدت  $1$  ساعت در دمای  $4^\circ\text{C}$  درجه سانتی گراد در معرض محلول فیکساتیو پارافمالدئید  $4\text{ ml}$  قرار داده شدند. سپس سلول‌ها به مدت  $2$  دقیقه در معرض محلول رنگی آیزارین رد قرار گرفته و در

نهایت سلول‌ها با آب مقطر شسته شده و پس از خشک شدن با میکروسکوپ مشاهده گردیدند.

**تمایز آدیپوژنیک:** برای تمايز به سلول چربی ADSCs پاساژ دوم در پلیت شش خانه حاوی محیط الفاکننده، تمايز به cell Adipocyte Differentiation Medium, Stem (Adipocyte Differentiation Medium, Stem cell technology, BON 1007) کشت شدند. پس از گذشت  $21$  روز، تمايز سلول‌ها با روش رنگ آمیزی ایل رد Oil Red O (Sigma O0625-25G)، بررسی شد؛ بدین ترتیب که سلول‌ها با PBS شسته شده و به مدت  $1$  ساعت در دمای  $4^\circ\text{C}$  درجه سانتی گراد در معرض محلول فیکساتیو پارافمالدئید  $4\text{ ml}$  قرار داده شدند. سپس، سلول‌ها با الكل درصد شسته شده و به مدت  $10$  تا  $15$  دقیقه در معرض محلول رنگی ایل رد قرار داده شدند. در مرحله‌ی بعد محلول رنگی خارج گردیده و سلول‌ها  $3$  بار با الكل درصد شستشو داده شده و با میکروسکوپ مشاهده گردیدند.

رنگ آمیزی کرزیل و بوله

برای شناسایی و بررسی ریخت‌شناسی سلول‌های شبه-عصبي و تمايز خودبه‌خودی، سوپاپانسیون سلولی بر روی لامل استریل پوشیده شده با ژلاتین  $0.1\text{ mg}/\text{ml}$  درصد (sigma) کشت شد. برای رنگ آمیزی ابتدا نمونه‌ها با استفاده از محلول  $4\text{ ml}$  درصد پارافمالدئید (Sigma) به مدت  $30$  دقیقه با PBS و آبدهی در الكل‌های با درجات نزولی انجام شستشو با PBS و آبدهی در الكل‌های با درجات نزولی انجام شد. در مرحله‌ی بعد، قرار دادن در محلول کرزیل و بوله به مدت  $2-5$  دقیقه و پس از آن شستشو با PBS صورت گرفت. فرایند آب‌گیری در الكل با غلظت‌های صعودی (هر کدام یک ضربه) انجام شده و عمل شفاف کردن با گریلول (در دو مرحله هر بار  $10$  دقیقه) صورت گرفت. در خاتمه با استفاده از چسب اتانلن (Sigma)، لامل‌ها چسبانده شده و با میکروسکوپ مشاهده و عکس‌برداری شد.

ایمنوسیتوشیمی

برای تعیین هویت ADSCs استخراج شده از بافت چربی، پس از کشت سلول‌ها بر روی لامل آگنثه به ژلاتین با تراکم  $5 \times 10^5$  در سانتی متر مربع سلول، به روش ایمنوسیتوشیمی، نمونه‌ها با آنتی‌بادی‌های آنتی nestin (nestin: ۱:۱۰۰)، Sigma، N5413 (Miltenyi Biotec-CD90)، و آنتی CD90 (Miltenyi Biotec-N5413) ارزیابی شدند. پس از شستشوی سلول‌ها با PBS (130094524) مدت  $20$  دقیقه در پارافمالدئید  $4\text{ ml}$  درصد ثبوت انجام شد. سپس به مدت  $15$  دقیقه در معرض Triton X-100  $0.3\text{ ml}$  درصد و مدت  $10$  دقیقه سرم  $10\text{ ml}$  درصد نرمال بز قرار داده شدند. پس از آن، نمونه‌ها به مدت یک شب در دمای  $4^\circ\text{C}$  درجه و شرایط مروط در

شد. پس از اطمینان یافتن از کیفیت RNA استخراج شده با انعام الکتروفورز روی ژل آگاروز و اسپکتروفوتومتری، برای تهیه cDNA تک زنجیره‌ای با ۰/۵ میکروگرم RNA و استفاده از پرایمر oligo [Revert Aid First Strand (dt) و آنزیم ترانس کرپیتاز معکوس cDNA synthesis Kit(K1622, Fermentas, EU)] تهیه شد. واکنش RT در حجم نهایی ۲۰ میکرولیتر انجام گرفت. در ادامه واکنش PCR در حجم نهایی ۲۵ میکرولیتر انجام شده و جهت تهیه حجم مذکور، علاوه بر DNA الگو (محصول واکنش RT) از کیت PCR (سیناکلون)، و ۱۰ پیکومولار پرایمرهای بالادست و پایین دست استفاده شد. پس از آماده ساختن حجم مورد نظر برای ادامه کار، واکنش PCR با شرایط باز شدن اولیه ۹۴ درجه سانتی گراد به مدت ۲ دقیقه، و سیکل های با شرایط باز شدن ۹۴ درجه سانتی گراد به مدت ۳۰ ثانیه، اتصال ۵۵ درجه سانتی گراد به مدت ۳۰ ثانیه، گسترش ۷۲ درجه سانتی گراد به مدت ۳۰ ثانیه و پس از اتمام ۳۴ سیکل، مرحله گسترش نهایی در دمای ۷۲ درجه سانتی گراد به مدت ۵ دقیقه انجام شد. بعد از اتمام واکنش، ۸ میکرولیتر از محصول واکنش PCR توسط الکتروفورز ژل آگار ۱/۵ درصد بررسی شد. ژن  $\beta_2$ M (microglobulin; به عنوان ژن کنترل داخلی استفاده شد. توالی و شماره دست یابی پرایمرها در جدول شماره ۱ آمده است.

عرض آنتی بادی اولیه nestin و CD90 انکوبه گشتند. پس از شستشو، نمونه‌ها به مدت یک ساعت در دمای ۳۷ درجه سانتی گراد و شرایط مرطوب به ترتیب با آنتی بادی ثانویه ضد خرگوش (1:۱۰۰) (Chemicon, AP132F) کونژوگه به FITC و آنتی بادی ثانویه ضد موش (1:۱۰۰) کونژوگه به رودامین (1:۱۰۰) (Millipore-AP124R) در تاریکی انکوبه شدند. در پایان نمونه‌ها با میکروسکوپ فلورسنت (E600-Eclipse Nikon) و دوربین دیجیتال (Nikon Digital Camera DXM 1200) مطالعه و عکس برداری شدند. برای نشان گر Brdu از آنتی بادی آنتی (B2531 sigma) Brdu (A2304 sigma) HRP استفاده شد. با کونژوگه به DAB (Diaminobenzidine) نمونه‌ها رنگ-استفاده از محلول درستی روش کار با حذف آنتی بادی آزمودن برای آزمودن درستی روش کار با حذف آنتی بادی اولیه، واکنش مثبت کاذب کنترل گردید. برای هر یک از آنتی بادی‌ها در هر گروه سه بار تکرار انجام شد.

#### روش بررسی RT-PCR

برای بررسی ژن‌ها، از روش Reverse Transcription- Polymerase Chain Reaction; RT-PCR استفاده شد. برای این منظور RNA کل سلول‌های مورد نظر در پاساژهای مختلف، با استفاده از RNX-Plus و مطابق با دستور کار سیناژن جداسازی

جدول شماره ۱- توالی پرایمرهای مورد استفاده، اندازه و شماره دست یابی آن‌ها در بانک ژن

| نام ژن | کد دسترسی | اندازه bp | توالی پرایمر   |
|--------|-----------|-----------|--|
| NGF    | NM-012610 | ۱۶۴       | F: 5'-CCTCTTCGGACACTCTGGA-3'<br>R: 5'-CGTGGCTGTGGTCTTATCT-3'                     |
| CNTF   | NM-013166 | ۷۰        | F: 5'-CTG GCT AGC AAG GAA GAT TCG-3'<br>R: 5'-CAG GCC CTG ATG TTT TAC ATA AGA-3' |
| NT3    | NM-031073 | ۱۸۱       | F: 5'-AGG TCA GAA TTC CAG CCG AT-3'<br>R: 5'GTT-TCC-TCC-GTG-GTG-ATG-TT-3'        |
| NT4    | NM-013184 | ۲۱۳       | F: 5'-TATGTGCAGCGTTGACTGC-3'<br>R: 5'CACAGTCAGAAGGCACGGTA-3'                     |
| GDNF   | NM-019139 | ۲۵۶       | F: 5'-GAC TCC AAT ATG CCC GAA GA-3'<br>R: 5'-TAG CCC AAA CCC AAG TCA GT-3'       |
| B2m    | NM-012512 | ۳۱۸       | F: 5'-CCG TGA TCT TTC TGG TGC TT-3'<br>R: 5'-TTT TGG GCT TCA GAG TG-3'           |
| BDNF   | D 10938   | ۴۰۵       | F: 5'-GCC CAA CGA AGA AAA CCA TA-3'<br>R: 5'-GAT TGG GTA GTT CGG CAT TG-3'       |

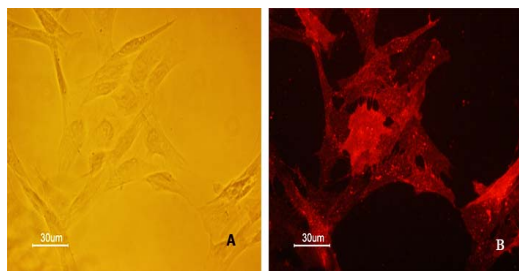
Tukey انجام شد. مرز استنتاج آماری نتایج  $P \leq 0.05$  در نظر گرفته شد.

#### نتایج

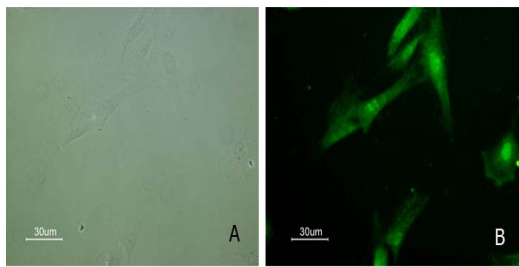
سلول‌های بنیادی مشتق از بافت چربی در کشت اولیه با

#### آفالیز آماری

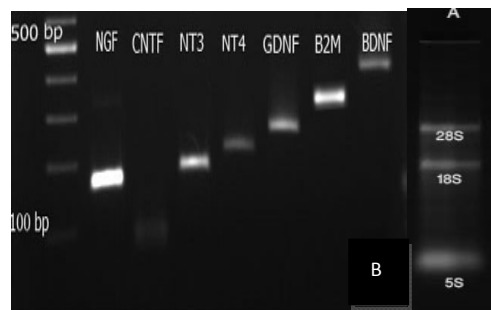
تجزیه و تحلیل داده‌ها با استفاده از نرم‌افزار SPSS ویرایش ۱۶ انجام گرفت. محاسبات آماری برای بررسی اختلاف بین زمان دو برابر شدن سلول‌های ADSC در پاساژهای مختلف با استفاده از آزمون واریانس یک‌طرفه و به دنبال آن آزمون تعقیبی



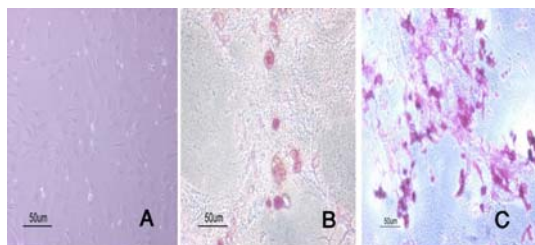
شکل شماره ۲- تعیین هویت سلول‌های بنیادی مزانشیمی به روش ایمنوستیتوشیمی. مشاهده سلول‌های ADSCs که به نشان‌گر CD90 پاسخ داده‌اند (A) تصویر فازکترast. (B) تصویر فلورسانس رنگ شده با رودامین.



شکل شماره ۳- بررسی بیان نشان‌گر نستین به روش ایمنوستیتوشیمی در سلول‌های ADSCs. مشاهده سلول‌های ADSCs که به نشان‌گر نستین پاسخ داده‌اند (A) تصویر فازکترast. (B) تصویر فلورسانس رنگ شده با FITC.



شکل شماره ۴- (A) الکتروفورز RNA کل سلول که باندهای S<sub>5</sub>, S<sub>18</sub> و 28S دیده می‌شود. (B) الگوی بیان ژن فاکتورهای نوروتروفیک در سلول‌های بنیادی مزانشیمی استخراج شده از بافت چربی به روش RT-PCR که در تصویر الکتروفورز آن دیده می‌شود. از چپ به راست (NGF, CNTF, NT3, NT4, GDNF, β2M, BDNF)

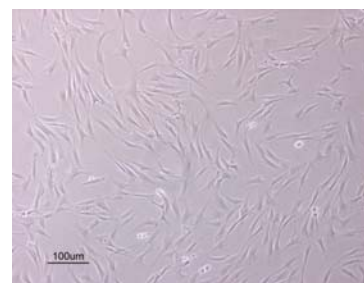


شکل شماره ۵- تصویر فازکترast سلول‌های ADSCs ایفا نشده مشاهده سلول‌های تمایز یافته ADSCs به سلول‌های چربی B و استخوانی C که به ترتیب با رنگ آمیزی Oil Red-O و Red-Alyizarin استخوانی C نشان داده می‌شود.

اشکال مختلف سلولی دیده می‌شوند، که به تدریج در پاساژهای بعدی، فنوتیپ سلولی یکدست می‌شود. سلول‌های مزانشیمی، سلول‌هایی هستند که ۲ تا ۳ روز پس از کشت اولیه کف ظرف کشت را پر کرده و به تراکم confluence ۷۰ تا ۸۰ درصد می‌رسیدند. این سلول‌ها به ظرف کشت چسبیده، به سرعت تکثیر شده و عموماً به سه شکل در محیط نمایان هستند. تعدادی از سلول‌ها که در حال تکثیر هستند ظاهری کروی و کوچک داشته و برخی دیگر که بیشتر سلول‌ها را به خود اختصاص می‌دهند به شکل دوکی و شبیه فیبروبلاستی مشخص می‌شوند. تعداد کمی از سلول‌ها به صورت پهن و از نظر اندازه بزرگ‌تر از سایر سلول‌ها، در محیط کشت دیده می‌شوند (شکل شماره ۱). سلول‌های دوکی با ظاهر فیبروبلاست مانند در بین سلول‌های مزانشیمی مشهودتر است. در پاساژهای بالاتر، از سرعت تکثیر سلولی کاسته شده و مورفوЛОژی آن‌ها به سلول‌های پهن‌تر تغییر یافت. ارزیابی میزان حیات سلولی نشان داد، که بیش از ۹۵ درصد سلول‌ها در پاساژهای مختلف زنده بودند. مقایسه زمان دوبرابر شدن سلول‌های ADSC در پاساژهای مختلف، بر اساس آزمون واریانس یک طرفه صورت گرفت (جدول شماره ۲). فرض همگنی واریانس‌ها بررسی گردیده و آزمون لون (Levene's test) نتایج معنی‌داری را نشان نداد. همچنین، نرمالیتی برقرار بود. نتایج اختلاف معنی‌داری را بین پاساژهای مختلف نشان داد ( $P \leq 0.05$ ). مقایسه زوجی با آزمون Tukey فقط اختلاف معنی‌داری را بین پاساژ پنجم با هر یک از چهار پاساژ دیگر نشان داد ( $P \leq 0.05$ ). سایر مقایسه‌های زوجی معنی‌دار نبود.

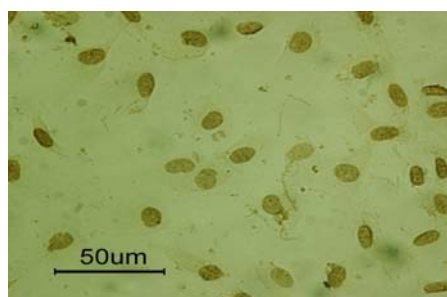
#### بررسی ایمنوستیتوشیمی

جهت تعیین هویت ADSCs ایمنوستیتوشیمی علیه نشان‌گرهای nestin و CD90 انجام شد. نتایج نشان داد که ADSCs نشان‌گر CD90 را به میزان ۹۰ و نستین را به میزان ۸۰ درصد بیان می‌کنند (شکل‌های شماره ۲ و ۳). برای هر نشان‌گر سه بار تکرار و برای هر نمونه به صورت تصادفی، سلول‌های ۲۰ زمینه شمارش شدند.

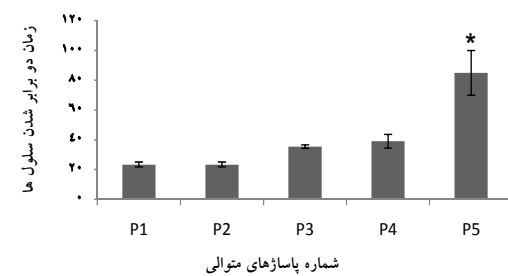


شکل شماره ۱- مشاهده تصویر فازکترast ADSCs پاساژ ۴ که در محیط MEM حاوی سرم ده درصد کشت داده شدند.

به بافت، تهیه و کشت می‌شوند. هم‌چنین، این سلول‌ها را می‌توان از فرد بیمار تهیه و به صورت اتوگراف بدون نگرانی از رد پیوند برای درمان استفاده نمود [۱۵،۸]. ADSCs منبع سلولی مناسبی برای پژوهشی ترمیمی هستند. استفاده از این سلول‌ها برای سلول درمانی و مهندسی بافت به دلیل استخراج ساده آنها از بافت چربی زیر جلدی نسبت به مغز استخوان ترجیح داده می‌شود [۱۶]. این جمعیت سلولی را می‌توان به سادگی از بافت چربی انسان برداشت و در محیط کشت، به انواع سلول‌های با منشا مزانشیمی و رده سلولی عصبی تمایز داد [۱۷،۸،۲]. اولين بار Fridenstein سلول‌های بنیادی مزانشیمی مغز استخوان را سلول‌های غیرهماتopoئیتیک و چسبنده با قابلیت تشکیل کلونی فیروپلاستی معرفی نمودند. این واحدهای کلونی فیروپلاستی (CFU-Fs) که قادرند در شرایط درون و برون‌تنی به سلول‌های استئوژنیک، آدیپوژنیک و کندروژنیک تمایز یابند [۱۸-۲۰]. در مطالعه حاضر، ADSC‌ها از بافت چربی زیر جلدی موش صحرایی بالغ با استفاده از روش هضم مکانیکی و آنزیمی (آنزیم کلائزناز) و انجام سانتریفوژ، استخراج و کشت شد. این سلول‌ها در کشت اولیه به سرعت به کف فلاسک چسبیده و با گذشت ۲ تا ۳ روز طرف کشت را کاملاً مفروش نمودند. همان‌گونه که در تصاویر مشاهده می‌شود، بیشتر سلول‌ها ظاهری دوکی، کشیده و فیروپلاست مانند دارند. در سایر پژوهش‌ها نیز کشت این سلول‌ها با استفاده از هضم آنزیمی توسط کلائزناز و سانتریفوژ و یا عبور از فیلترهای مخصوص انجام شده است [۸]. ADSCs به سلول‌هایی با خاصیت چسبنده شده به پلاستیک و قابلیت خودتکثیری و چند ظرفیتی اطلاق می‌شود [۱۸]. هم‌چنین، یکی از مزیت‌هایی که برای این سلول‌ها قابل هستند سرعت تکثیر بسیار بالا است [۱۹]. نتایج پژوهش حاضر نشان داد که سرعت تکثیر ADSC‌ها در پاسازهای متعدد با یکدیگر اختلاف داشته و سرعت و توان تکثیر سلولی در پاسازهای پایین‌تر، بیشتر است. جدول شماره ۲ نیز، نشان‌دهنده افزایش زمان دو برابر شدن ADSC‌ها در پاسازهای متولی است و در پاساز دوم زمان دو برابر شدن ۲۳/۳۳ و در پاساز پنجم ۴۰/۰۵ ساعت می‌باشد. این افزایش زمان در پاسازهای بالا نشان از کاهش سرعت و ظرفیت تکثیری سلول‌ها است. گزارش‌ها اندکی در مورد زمان دو برابر شدن سلولی وجود دارد که در آن زمان دو برابر شدن در MSCs و همکاران اشاره کرد که در آن زمان دو برابر شدن در خون بند ناف انسان ۲۶ ساعت گزارش شده است [۶]. ارزیابی ۹۵ حیات، و شمارش سلولی بهروش هموسایومتر نشان داد که درصد سلول‌ها زنده بودند. نتایج نشان دار کردن هسته سلول‌ها با Brdu نشان دهنده قابلیت تکثیر این سلول‌ها است که بیش از ۹۰



شکل شماره ۶- ارزیابی تکثیر سلول‌های ADSC که با Brdu نشان-دار شده و پس از ایمتوسیتوشیمی که با آنتی‌بادی آنتی Brdu هسته سلول‌های تکثیر شده به رنگ قهوه‌ای دیده می‌شوند.



نمودار شماره ۱- مقایسه زمان دو برابر شدن سلول‌های ADSC در پاسازهای مختلف. مقایسه زوجی زمان دو برابر شدن پاساز پنجم با هر یک از پاسازهای دیگر نشان دهنده اختلاف معنی دار ( $P \leq 0.05$ ) می‌باشد.

جدول شماره ۲- زمان دو برابر شدن ADSCs در پاسازهای مختلف

| زمان دو برابر شدن | تعداد سلول برداشت شده | تعداد سلول کشت شده | (ساعت) |
|-------------------|-----------------------|--------------------|--------|
| ۱                 | ۵۰۰۰۰۰                | ۲۴۰۹۰۰۰            | ۲۳/۲   |
| ۲                 | ۵۰۰۰۰۰                | ۲۲۰۳۳۳۳            | ۲۳/۳   |
| ۳                 | ۵۰۰۰۰۰                | ۱۷۱۱۶۶۶            | ۲۶/۹   |
| ۴                 | ۵۰۰۰۰۰                | ۱۲۸۸۳۳۳            | ۳۹     |
| ۵                 | ۵۰۰۰۰۰                | ۱۲۲۲۳۳۳            | ۴۰/۵۳  |

زمان دو برابر شدن ADSCs در پاسازهای مختلف بر اساس فرمول زیر محاسبه شده است:  

$$PDT = \text{total time elapsed} / \text{number of generations}$$

$$R = 3.32(\log N_i - \log N_f) / (t_2 - t_1)$$

$$PDT = 1/R$$

$$R: \text{زمان دو برابر شدن سلول‌ها} ; PDT: \text{سرعت تکثیر} ; N_h: \text{تعداد سلول‌های برداشت شده} ; t_2-t_1: \text{مدت زمان کشت} ; N_i: \text{تعداد سلول‌های کشت شده}.$$

## بحث

هر چند مغز استخوان به عنوان اولین منبع MSCs شناخته شده، اما این سلول‌ها را می‌توان از بافت‌های دیگر نیز استخراج و کشت نمود. بافت چربی بالغ همانند مغز استخوان از بافت مزانشیمی جنبی منشا گرفته و با نام سلول‌های بنیادی مشتق از بافت چربی (ADSC) شناخته می‌شود. بافت چربی یکی از غنی-ترین منابع دارای سلول‌های بنیادی است که به سادگی بدون آسیب

تمایز یافته و ترمیم و بهبود عصب حرکتی آسیب دیده را افزایش می‌دهند [۲]. در زمینه تمایز MSCs در شرایط برون و درون تنی گزارش‌های متعددی وجود دارد، ولی در زمینه بیان نستین و تمایز خودبه‌خودی ADSCs گزارشی وجود ندارد. تولید و ترشح فاکتورهای رشد، سیتوکین‌ها و عوامل نوروتروفیک، یکی از قابلیت‌های سلول‌های بنیادی مزانشیمی محسوب می‌شود [۲۶-۲۷]. ADSCs در شرایط درون‌تنی بیان فاکتورهای نوروتروفیک مثل NGF، GDNF و BDNF را نشان داده‌اند [۲۸-۳۲]. بررسی‌های مختلف نشان می‌دهند که این سلول‌ها دارای قابلیت بیان و تولید برخی از فاکتورهای نوروتروفیک و مولکول‌های فعال بیولوژیک موثر و دارای اثر محافظه اعصاب در پدیده ترمیم آسیب‌های عصبی می‌باشند [۳۳]. نتایج پژوهش حاضر نیز نشان می‌دهد که ADSC فاکتورهای نوروتروفیک NT4/5، CNTF، NGF، NT3، mRNA و BDNF را در سطح GDNF و VEGF می‌توانند تولید کنند [۱۵، ۱۴]. فاکتورهای نوروتروفیک علاوه بر دخالت در تکوین عصبی در بهبود آسیب‌ها و درمان ضایعات عصبی نیز نقش دارند. نقش این فاکتورها در نورون‌زایی، تمایز عصبی، رشد آکسون و دندربیت نشان داده شده است [۳۴، ۱۵]. پیوند این سلول‌ها به دلیل قابلیت تمایزی و اثرات نوروتروفیک می‌تواند نقش درون‌زاد خود را بر بافت میزان باقی گذارد.

### نتیجه‌گیری

با توجه به نتایج مطالعه حاضر می‌توان سلول‌های بنیادی مزانشیمی بافت چربی را به دلیل قابلیت خودتکثیری و ظرفیت تمایزی، بیان فاکتور نستین و همچنین بیان فاکتورهای نوروتروفیک، به عنوان سلول مناسب برای درمان بیماری‌ها و ضایعات عصبی معرفی کرد.

### تشکر و قدردانی

از دانشگاه دامغان به خاطر پرداخت هزینه مواد، وسایل و در اختیار گذاشتن امکانات آزمایشگاهی تقدیر و تشکر می‌گردد. همچنین، بخشنی از این مقاله جز پایان نامه دانشجویی و بخش دیگر در غالب طرح پژوهشی مصوب ستاد سلول‌های بنیادی معاونت علمی و فناوری ریاست جمهوری بوده است.

در صد سلول‌ها در هر نوبت پاساژ سلولی تکثیر یافتند (تصویر شماره ۶). برای اطمینان از درجه خلوص و تعیین ماهیت MSCs از نشان‌گرهای متعددی استفاده می‌شود. یکی از نشان‌گرهای مورد استفاده CD90 است که پروتئین سطحی سلول‌های بنیادی است و ADSCs به این نشان‌گر پاسخ مثبت می‌دهند [۲۳-۲۱]. در پژوهش حاضر این مونوکلیوتروپلیمری برای نشان‌گر CD90 نشان داد که ۹۰ درصد سلول‌ها به این نشان‌گر واکنش مثبت داده‌اند (تصویر شماره ۲). همچنین، برای نشان دادن قابلیت چند ظرفیتی این سلول‌ها، تمایز به سلول‌های چربی و استخوان نیز صورت گرفت. پس از اثر محیط تمایزی آدیپوژنیک و استئوژنیک بر ADSCs کشت شده، به تدریج مورفوژوژی شبیه سلول چربی و استخوان ظاهر گردیده و پس از سه هفته رنگ آمیزی اخصاصی انجام شد (تصویر شماره ۵). تمایز چربی با تجمع قطرات لیپید از هفته اول آغاز می‌شود که پس از ۲۱ روز با رنگ آمیزی Oil Red-O قابل مشاهده است. همچنین ADSCs در شرایط کشت تمایزی استئوژنیک با تولید فسفات کلسیم تولید شده و ماتریکس خارج سلولی معدنی، پس از ۲۱ روز با رنگ آمیزی Alyzarin Red مشاهده می‌گردد. سایر مطالعات نشان می‌دهد که این سلول‌ها پس از ۱۴ تا ۲۱ روز کشت در محیط تمایزی آدیپوژنیک و استئوژنیک، به سلول‌های چربی و استخوان تمایز یافته‌اند [۱۸، ۲۳]. وقتی که سلول‌های بنیادی مزانشیمی استخراج شده از مغز استخوان در معرض برخی از مواد القا کننده یا فاکتورهای رشد قرار گیرند و یا برای بیش از ۱۰ پاساژ کشت شوند، نستین را بیان می‌کنند [۲۲]. نستین به طور معمول برای شناسایی سلول‌های زاینده (پروژنیتور) عصبی در دستگاه عصبی مرکزی مورد استفاده قرار می‌گیرد. نستین فیلامان حدواتسط سلول‌های نورواپیتیال و پیش‌ساز عصبی است که در مراحل ابتدایی تکوین دستگاه عصبی بیان می‌شوند [۲۳]. پژوهش‌های قبلی نیز نشان می‌دهند که علاوه بر BMSC، سلول‌های بنیادی عصبی (NSC) نیز در مرحله پیش‌تمایزی این نشان‌گر را بیان می‌کنند. همان‌طوری که در تصویر شماره ۳ دیده می‌شود ۸۰ درصد سلول‌های ADSC پاساژ ۴ تا ۵ در شرایط کشت معمولی نشان‌گر نستین را بیان نمودند. همچنین، کشت طولانی مدت این سلول‌ها بر روی لامل آغاز شده به ژلاتین مورفوژوژی سلول‌های چند قطبی با استطاله بلند شبکه عصبی را نشان می‌دهد که در رنگ آمیزی کریزیل و بوله، حدود ۱۰ درصد سلول‌ها رنگ می‌گیرند. در یک مطالعه نشان داده شده است که ADSC های نستین مشیت با القا فاکتورهای رشد، نوروسفر تولید کرده و به سلول شوان

## References:

- [1] Ozawa K, Sato K, Oh I, Ozaki K, Uchibori R, Obara Y, et al. Cell and gene therapy using mesenchymal stem cells (MSCs). *J Autoimmun* 2008; 30(3): 121-7.
- [2] Tansey MG, Botterman BR, Tansey KE, McCoy MK, Martinez TN, Ruhn KA, et al. Autologous transplants of Adipose-Derived Adult Stromal (ADAS) cells afford dopaminergic neuroprotection in a model of Parkinson's disease. *Exp Neurol* 2008; 210(1): 14-29.
- [3] Qiao C, Xu W, Zhu W, Hu J, Qian H, Yin Q, et al. Human mesenchymal stem cells isolated from the umbilical cord. *Cell Biol Int* 2008; 32(1): 8-15.
- [4] di Summa PG, Kingham PJ, Raffoul W, Wiberg M, Terenghi G, Kalbermatten DF. Adipose-derived stem cells enhance peripheral nerve regeneration. *J Plast Reconstr Aesthet Surg* 2009; 63(9): 1544-52.
- [5] Sterodimas A, Faria J, Nicareta B, Pitanguy I. Tissue engineering with adipose-derived stem cells (ADSCs): Current and future applications. *J Plast Reconstr Aesthet Surg* 2010; 63(11): 1886-92.
- [6] Gomillion CT, Burg KJL. Stem cells and adipose tissue engineering. *Biomaterials* 2006; 27(36): 6052-63.
- [7] Vallée M, Côté J F, Fradette J. Adipose-tissue engineering: Taking advantage of the properties of human adipose-derived stem/stromal cells. *Pathol Biol (Paris)* 2009; 57(4): 309-17.
- [8] Deng ZF, Wang Y, Song SX, Lai Xianliang, Min L. Effects of bone marrow mesenchymal stem cells transplantation on angiogenesis and neuronal progenitor proliferation in injured region of middle cerebral artery occlusion rats. *Chin J Anat* 2005; 28(5): 500-3.
- [9] Woodbury D, Schwarz EJ, Prockop DJ, Black IB. Adult rat and human bone marrow stromal cells differentiate into neurons. *J Neurosci Res* 2000; 61(4): 365.
- [10] Wang Y, Deng Z. Mesenchymal stem cells regulate the proliferation and differentiation of neural stem cells through Notch signaling. *Cell Biol Int* 2009; 33(11): 1-7.
- [11] Fraser JK, Wulur I, Alfonso Z, Hedrick MH. Fat tissue: an underappreciated source of stem cells for biotechnology. *Trends Biotechnol* 2006; 24(4): 150-4.
- [12] Imitola J, Snyder EY, Khoury SJ. Genetic programs and responses of neural stem/progenitor cells during demyelination: potential insights into repair mechanisms in multiple sclerosis. *Physiol Genomics* 2003; 14(3): 171-97.
- [13] Chen J, Li Y, Katakowski M, Chen X, Wang L, Lu D, et al. Intravenous bone marrow stromal cell therapy reduces apoptosis and promotes endogenous cell proliferation after stroke in female rat. *J Neurosci Res* 2003; 73(6): 778-86.
- [14] Li Y, Chen J, Chen XG, Wang L, Gautam SC, Xu YX, et al. Human marrow stromal cell therapy for stroke in rat: neurotrophins and functional recovery. *Neurology* 2002; 59(4): 514-23.
- [15] Tapp H, Hanley EN Jr, Patt JC, Gruber HE. Adipose-derived stem cells: characterization and current application in orthopaedic tissue repair. *Exp Biol Med (Maywood)* 2009; 234(1): 1-9.
- [16] Higuchia A, Chuanga CW, Lingc QD, Huange SC, Wange LM, Chena H, et al. Differentiation ability of adipose-derived stem cells separated from adipose tissue by a membrane filtration method. *J Memb Sci* 2011; 366: 286-94.
- [17] Bia L, Caplan A, Lennon D, Miller RH. Human mesenchymal stem cells signals regulate neural stem cell fate. *Neurochem Res* 2007; 32(2): 353-62.
- [18] Li G, He Q, Wan C. Concise review multipotent mesenchymal stromal cells in blood. *Stem Cells* 2007; 25(1): 69-70.
- [19] Meirelles Lda S, Fontes AM, Covas DT, Caplan AI. Mechanisms involved in the therapeutic properties of mesenchymal stem cells. *Cytokine Growth Factor Rev* 2009; 20(5-6): 419-27.
- [20] Park IS, Han M, Rhie JW, Hyun Kim S, Jung Y, Hwan Kim I, et al. The correlation between human adipose-derived stem cells differentiation and cell adhesion mechanism. *Biomaterials* 2009; 30(36): 6835-43.
- [21] Martinello T, Bronzini I, Maccatrazzo L, Mollo A, Sampaolesi M, Mascarello F, et al. Canine adipose-derived-mesenchymal stem cells do not lose stem features after a long-term cryopreservation. *Res Vet Sci* 2011; 91(1): 18-24.
- [22] Lei Z, Yongda L, Jun M, Yingyu S, Shaoju Z, Xinwen Z, Mingxue Z. Culture and neural differentiation of rat bone marrow mesenchymal stem cells in vitro. *Cell Biol Int* 2007; 31(9): 916-23.
- [23] Radtke C, Schmitz B, Spies M, Kocsis JD, Vogt PM. Peripheral glial cell differentiation from neurospheres derived from adipose mesenchymal stem cells. *Int J Dev Neurosci* 2009; 27(8): 817-23.
- [24] Tohill M, Mantovani C, Wiberg M, Terenghi G. Rat bonemarrow mesenchymal stem cells express glial markers and stimulate nerve regeneration. *Neurosci Lett* 2004; 362: 200-3.
- [25] Dezawa M, Takahashi I, Esaki M, Takano M, Sawada H. Sciatic nerve regeneration in rats induced by transplantation of in vitro differentiated bonemarrow stromal cells. *Eur J Neurosci* 2001; 14: 1771-6.
- [26] Keilhoff G, Goihl A, Langnase K, Fansa H, Wolf G. Transdifferentiation of mesenchymal stem cells into Schwann cell-like myelinating cells. *Eur J Cell Biol* 2006; 85(1): 11-24.
- [27] Keilhoff G, Goihl A, Stang F, Wolf G, Fansa H. Peripheral nerve tissue engineering: autologous Schwann cells vs. transdifferentiated mesenchymal stem cells. *Tissue Eng* 2006; 12(6): 1451-65.
- [28] Wei X, Zhao L, Zhong J, Gu H, Feng D, Johnstone BH, et al. Adipose stromal cells-secreted

- neuroprotective media against neuronal apoptosis. *Neurosci Lett* 2009; 462(1): 76–9.
- [29] Kalbermatten DF, Schaakxs D, Kingham PJ, Wiberg M. Neurotrophic activity of human adipose stem cells isolated from deep and superficial layers of abdominal fat. *Cell Tissue Res* 2011; 344(2): 251–60.
- [30] de Villiers JA, Hourel N, Abrahamse H. Adipose Derived Stem Cells and Smooth Muscle Cells: Implications for Regenerative Medicine. *Stem Cell Rev* 2009; 5(3): 256–65.
- [31] Hausman G J, Barb C R, Dean R G. Patterns of gene expression in pig adipose tissue: Insulin-like growth factor system proteins, neuropeptide Y (NPY), NPY receptors, neurotrophic factors and other secreted factors. *Domest Anim Endocrinol* 2008; 35(1): 24–34.
- [32] Zhao L, Wei X, Ma Z, Feng D, Tu P, Johnstone B H, et al. Adipose stromal cells-conditional medium protected glutamate-induced CGNs neuronal death by BDNF. *Neurosci Lett* 2009; 452(3): 238–40.
- [33] Lu S, Lu C, Han Q, Li J, Du Z, Liao L, et al. Adipose-derived mesenchymal stem cells protect PC12 cells from glutamate excitotoxicity-induced apoptosis by upregulation of XIAP through PI3-K/Akt Activation. *Toxicology* 2011; 279(1-3): 189–95.
- [34] An Official Publication of the American College, Neuropsychopharmacology: The 5<sup>th</sup> Generation of Progress, 207-8. An Official Publication of the American College; 2002.